

01; 09

(C) 1992

## О ВОЗМОЖНОСТИ УПРАВЛЕНИЯ КОЛЕБАТЕЛЬНЫМИ РЕЖИМАМИ С ПОМОЩЬЮ ОДИНОЧНЫХ РАДИОИМПУЛЬСОВ

Э.В. К а л ь я н о в, С.О. С т а р к о в

Использование внешнего воздействия для управления колебательными режимами (как простыми, так и сложными) исследовалось в ряде работ [1-6]. При этом основное внимание уделялось характеру воздействия (регулярному или шумовому), его амплитудным и частотным свойствам. Вопрос о длительности воздействующего сигнала оставался в тени, тогда как для решения многих задач управления этот параметр является не менее важным. В настоящей работе приводятся результаты численного анализа особенностей стимулирования переходов колебаний с одной частоты на другую при воздействии на автоколебательную систему одиночного радиоимпульса. Показано нетривиальное влияние длительности и фазы воздействия.

Анализ возможности стимулирования переходов колебаний при воздействии радиоимпульса проводился на модели неавтономной автоколебательной системы, состоящей из усилителя, с выхода которого колебания подаются на вход через цепь, содержащую дифференцирующий элемент, фильтр второго порядка, линию задержки и фильтр первого порядка. Дифференциальные уравнения такой системы при вводе внешнего сигнала на вход фильтра второго порядка можно представить в виде

$$\ddot{x}(t) + \frac{\omega}{Q} \dot{x}(t) + \omega^2 x(t) = \frac{\omega^2}{\sigma} \frac{d}{dt} F(y) + \omega^2 \beta f(t), \quad (1a)$$

$$\delta \dot{y}(t) + y(t) = x(t - \tau). \quad (1b)$$

Здесь  $\omega, Q$  – собственная частота и добротность колебательного контура;  $\sigma, S$  – постоянные времени дифференцирующего элемента и контура;  $\tau$  – время запаздывания в линии задержки;  $F(y)$  – функция, имеющая вид

$$F(y) = B(y + \alpha)^2 \exp(-(y + \alpha)),$$

где  $B$  – коэффициент усиления,  $\alpha$  – постоянная смещения. При этом внешний одиночный радиоимпульс определялся соотношением

$$f(t) = 0.25(t + th(t - t_0))(t - th(t - (\varepsilon_0 + t_0))) \sin \omega_1 t,$$

где  $\tau_0$  - длительность радиоимпульса,  $t_0$  - момент начала воздействия,  $\omega_1$  - несущая частота действующих колебаний.

Расчеты проводились при значениях  $B_0 = 3$ ,  $Q = 2$ ,  $\alpha = 1.2$ ,  $\xi = 0.1$ ,  $\omega = 1$ . При этом полагалось, что  $B = 6B_0$ . Величины  $t_0$ ,  $\tau_0$ ,  $\tau$ ,  $\omega_1$ ,  $\omega$  изменялись. При выбранных значениях фиксированных параметров генератор вблизи значения  $\tau = 9$  обладает неустойчивым режимом. При  $\tau = \tau_1 = 9$  он возбуждается на частоте  $\omega'_0 = 0.76$ , а при  $\tau = \tau_2 = 9.005$  - на частоте  $\omega''_0 = 1.3$ . Подвоздушение автоколебаний непрерывным гармоническим сигналом ( $t - t_0 = \tau_0 = 0$ ) приводит при  $\tau = \tau_1$ ,  $\omega_1 = 1.3$  к установлению автоколебаний на этой частоте и, наоборот, подвоздушение на частоте  $\omega_1 = 0.76$  при  $\tau = \tau_2$  способствует установлению автоколебаний частоты  $\omega'_0 = 0.76$ . При этом значение  $\omega$  невелико. Естественно ожидать, что при воздействии радиоимпульсом эффективность подвоздушения может зависеть не только от амплитуды действующего сигнала соответствующей частоты, но и от длительности воздействия, причем с ростом длительности импульса эффективность воздействия должна усиливаться. При численном анализе обнаружен обратный эффект: при увеличении длительности импульса воздействующих колебаний подвоздушение может оказаться невозможным, тогда как при меньшей длительности стимулирование перехода имеет место. Иными словами, при импульсном радиочастотном воздействии имеет существенное значение не только амплитуда и частота воздействующих колебаний, но также и их длительность. Последнее иллюстрируется рис. 1, на котором приведены реализации колебаний при двух длительностях импульсов одиночного воздействия (рис. 1, а,  $\tau_0 = 30$ ; рис. 1, б,  $\tau_0 = 40$ ) при моменте начала воздействия  $t_0 = 610$ . При  $\tau_0 = 30$  ( $\omega_1 = 1.3$ ) радиоимпульс содержит примерно 6 периодов колебаний, а при  $\tau_0 = 40$  - 8. На реализации рис. 1, а видно, что до момента воздействия импульса существуют регулярные колебания частоты  $\omega'_0$  (показан один период колебаний), а после воздействия импульса наблюдается переходной процесс установления колебаний частоты  $\omega''_0$ , подвоздужаемых колебаниями несущей частоты радиоимпульса. Процесс установления автоколебаний частоты  $\omega''_0$  заканчивается при  $t \approx 700$  (на рис. 1, а не показано). В интервале времени, соответствующем воздействию колебаний радиоимпульса, имеет место сложный непериодический процесс. При воздействии радиоимпульса большей длительности с той же несущей частотой подвоздушения фрагмент реализации (рис. 1, б) до момента  $t = t_0 + 30$  совпадает с представленной на рис. 1, а, что естественно, и существенно отличается при  $t > 640$ . При этом, в противоположность ожиданию сокращения переходного процесса установления колебаний частоты  $\omega''_0$ , происходит возврат к колебаниям на частоте  $\omega'_0$ . Процесс установления колебаний на этой частоте завершается при  $t \approx 1000$  (на рис. 1, б не показано). Ухудшение условий стимулирования перехода колебаний с одной частоты на другую с увеличением длительности стимула наблюдается и при других начальных фазах воздействия. Более того, наблю-

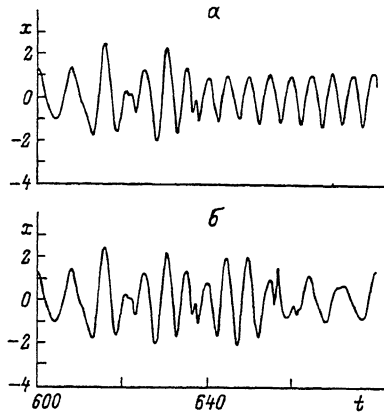


Рис. 1. Реализации колебаний при длительностях воздействия  $\tau_o = 30$  (а) и  $\tau_o = 40$  (б).

дается периодическое изменение условий подвозбуждения при непрерывном увеличении длительности импульса. Таким образом, на эффективность стимулирования перехода влияет начальная фаза воздействия и момент прекращения воздействия; длительность воздействия не определяет однозначно условия подвозбуждения. Естественно, что на траекторию движения в интервале времени воздействия влияет интенсивность воздействия, определяемая величиной  $\beta$ . При заданных величинах  $t_o, \omega_1$  и  $\beta$  эффективность стимулирования перехода определяется динамикой переходного процесса, вызванного внешним сигналом. АтTRACTоры автономных колебаний на частотах  $\omega'_o$  и  $\omega''_o$  занимают различные области фазового пространства (рис. 2, а). При этом фазовые траектории проходят вблизи сепаратрисной поверхности, разделяющей бассейны притяжения различных атTRACTоров. Внешнее воздействие приводит к ее разрушению и возникновению сложного движения, охватывающего оба атTRACTора (рис. 2, б). При прекращении воздействия определяющее значение приобретает местонахождение изображающей точки фазовой траектории. Если в момент окончания действия радиоимпульса система находится в бассейне притяжения первого атTRACTора (колебания с частотой  $\omega'_o$ ), то по окончании переходного процесса она „свалится” на этот атTRACTор (кривая 1, рис. 2, а). В противном случае произойдет переход к колебаниям частоты  $\omega''_o$  (кривая 2, рис. 2, а). Аналогичные описанным переходы наблюдаются при воздействии одиночного радиоимпульса с несущей частотой  $\omega_1 = 0.76$ , когда автономно колебания возбуждаются на частоте  $\omega''_o = 1.3$  при  $\tau = 9.005$ . Воздействие одиночного радиоимпульса с несущей частотой  $\omega_1 = 0.76$  либо способствует переходу, либо нет, в зависимости от фазы, амплитуды и длительности воздействия. Частота генерации колебаний после воздействия определяется предысторией движения системы в фазовом

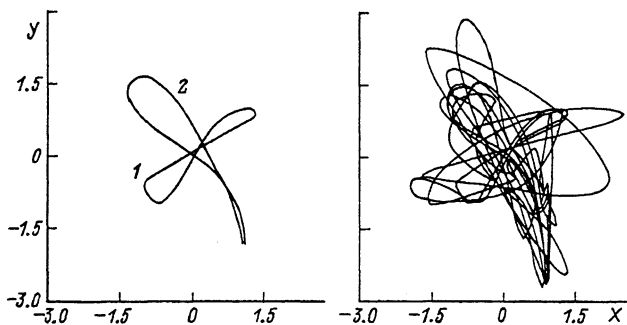


Рис. 2. Аттракторы колебаний при автономной работе (а) на частотах  $\omega'_0$  (кривая 1) и  $\omega''_0$  (кривая 2) и при воздействии радиоимпульса с длительностью  $\tau_0 = 30$  (б).

пространстве к моменту окончания воздействия, которая зависит от начальной фазы воздействия, длительности импульса, и, естественно, от амплитуды несущих колебаний.

В заключение заметим, что существенную роль играет регулярность действующих колебаний. При шумовых или шумоподобных колебаниях правильный выбор длительности импульса не представляется возможным. Напротив, характер самих управляемых колебаний не ограничивается простыми аттракторами и полученные результаты могут быть распространены на случаи, когда в качестве одного из опорных автономных режимов выступает режим странного аттрактора.

#### Список литературы

- [1] Ланда П.С. Автоколебания в системах с конечным числом степеней свободы. М.: Наука, 1980. 360 с.
- [2] Блехман И.И. Синхронизация в природе и технике. М.: Наука, 1981. 352 с.
- [3] Железовский Е.Е., Кальянов Э.В. Многочастотные режимы в приборах СВЧ. М.: Связь, 1978. 256 с.
- [4] Анищенко В.С., Арансон И.С., Постнов Д.Э., Рабинович М.И. // Докл. АН СССР. 1986. Т. 286. С. 1120-1124.
- [5] Кальянов Э.В., Старков С.О. // Письма в ЖТФ. 1988. Т. 14. № 11. С. 961-964.
- [6] Ваврик Д.М., Рябов В.Б. // Письма в ЖТФ. 1991. Т. 17. № 11. С. 55-59.